

05.4; 12

© 1993

АНОДНЫЕ И ТЕРМИЧЕСКИЕ ПЛЕНКИ ДИОКСИДА ЦИРКОНИЯ, СТАБИЛИЗИРОВАННОГО ИТТРИЕМ, ДЛЯ БУФЕРНЫХ СЛОЕВ НА КРЕМНИИ

Л.М. Лыньков, Ю.К. Карапин,
Е.Н. Цейгер

Формирование купратных сверхпроводников, подобных $YBaCuO$, на кремниевой подложке вызывает проблемы, связанные с высокой подвижностью кремния и меди при высоких температурах используемых технологических процессов. При этом присутствие кремния в ВТСП приводит к деградации сверхпроводящих свойств, а диффузия меди в кремний изменяет его полупроводниковые свойства.

Предотвратить взаимодиффузию позволит введение промежуточного буферного слоя. Из широкого диапазона исследуемых материалов наилучшие результаты получены на буферных слоях диоксида циркония, стабилизированного иттрием (YSZ) [1]. Основным методом получения таких слоев является распыление мишени в вакууме, содержащей оксиды циркония и иттрия в соотношении $(ZrO_2)_{0.9}(Y_2O_3)_{0.1}$ [2].

Цель настоящей работы – исследование структурных и буферных свойств пленок диоксида циркония, стабилизированного иттрием, полученных электрохимическим окислением тонкой (100 нм) металлической пленки циркония с 10 % содержанием иттрия, равномерно распределенного по объему.

Подложкой служили пластины монокристаллического кремния КЭФ-4.5 ориентации (100). Методика обработки исходных пластин кремния и электрохимического окисления описаны в [3]. Нанесение пленки циркония с иттрием проводились на установке электронно-лучевого испарения из двух источников при температуре подложки $200+10^\circ\text{C}$, скорости осаждения циркония $1.2+0.1 \text{ нм} \cdot \text{с}^{-1}$ и остаточном давлении газа 8–10 Па. Термическое окисление пленки циркония на кремнии проводилось при температурах 550 и 800°C на воздухе в течение 15 мин с последующим быстрым охлаждением образцов до комнатной температуры.

Для изучения фазового состава оксидных пленок циркония использовали рентгеноструктурный метод анализа; съемку дифрактограмм проводили на аппарате Дрон 3.0 в монохроматизированном $\text{Co}-K\alpha$ -излучении. Образцы для съемки устанавливали в одном и том же положении относительно базового среза пластин монокристаллического кремния, на которых формировались оксидные пленки, что обеспечивало съемку при одинаковом угле между кристаллографическими плоскостями подложки, падающим и отраженным рентгеновскими пучками. С целью определения фазового со-

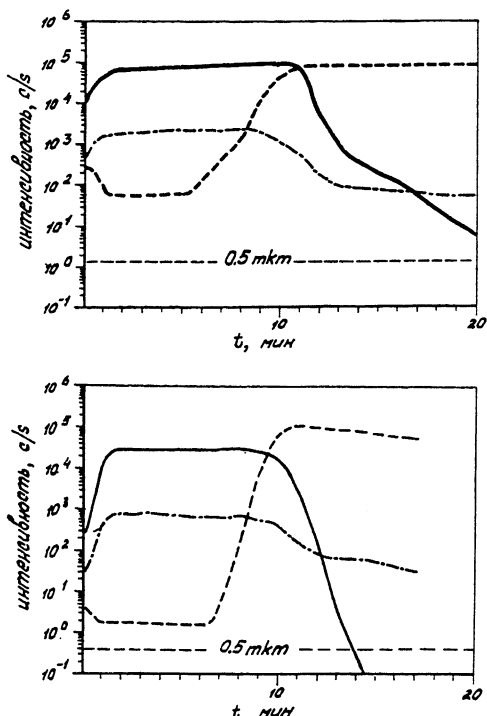
ства и распределения текстуры оксидных пленок по их толщине использован метод „скользящего пучка“ [4], основанный на регистрации отраженного рентгеновского излучения при угловом сканировании детектора и фиксированных значениях угла падения луча. При изменениях от 10 до 20 град изменяется толщина информативных слоев от поверхностных до глубинных, и при угле β , где β – угол дифракции, фиксируется фазовый состав пленки по всей ее толщине, включая слои, прилегающие к подложке.

Анализ дифрактограмм, полученных с оксидных пленок (см. таблицу), показал, что структура пленок представлена диоксидом циркония преимущественно кубической модификации. Для пленок, полученных анодированием, с увеличением их толщины (соответственно напряжения формовки) содержание кубического ZrO_2 увеличивается (соотношение „к“, равное J_k/J_M , растет), причем это увеличение значительно при повышении температуры отжига до 800°C . Для термических пленок содержание кубической фазы меньше и не растет с повышением температуры окисления от 500 до 800°C .

Интересно провести сравнение результатов исследований фазового состава и текстурированности пленок диоксида циркония в настоящей работе с результатами, полученными на образцах, не содержащих иттрий [3]. Содержание кубической модификации повышается с увеличением толщины пленок (ростом напряжения формовки) и с повышением температуры отжига в отличие от образцов без иттрия, где доля кубической модификации уменьшалась с повышением температуры. Ранее предполагалось, что в образцах без добавки иттрия с повышением температуры удалялись остатки электролита, играющие стабилизирующую роль, в результате чего происходило увеличение доли моноклинного диоксида. В настоящей работе преобладает механизм стабилизации за счет добавки иттрия, причем его влияние настолько сильно и устойчиво с ростом тем-

Изменение степени текстурированности в зависимости от режимов формирования и температуры отжига

№	Напряжение формовки U , В	Толщина окисла, нм	Температура отжига, $^{\circ}\text{C}$	J_k / J_M	Степень текстурированности, %			
					β	20	15	10
1	40	80	500	14.3	81.8	76.9	87.9	94.1
2	80	160	500	16.7	91.5	91.2	81.4	96.0
3	120	240	500	22.3	87.0	86.7	80.1	56.3
4	Термический окисел	250	500	12.3	86.1	81.7	81.9	62.1
5	40	80	800	16.2	80.3	74.5	88.7	94.2
6	80	160	800	17.9	91.6	91.1	77.7	32.2
7	120	240	800	27.5	93.4	84.9	77.6	20.9
8	Термический окисел	250	800	12.9	79.8	69.9	76.2	60.7



ВИМС распределение кремния, циркония и кислорода по толщине пленок диоксида циркония. Сплошная линия – Zr , штриховая – Si , штрихпунктирная – O , а – термическая пленка, б – анодная пленка.

пературы, что подавляет предположенный ранее механизм временной стабилизации остатками электролита, приводя к увеличению доли кубической фазы.

Степень текстурированности пленок ZrO_2 определяли для кубической модификации по соотношению линий (111) и (200) [5]. В слоях, прилегающих к подложке, все оксидные пленки независимо от способа получения показали высокую степень текстурированности в направлении (111) от 80 до 93 %. При увеличении толщины с удалением от подложки степень текстурированности снижается, у термических пленок это снижение наиболее выражено. Оптимальное соотношение кубической модификации в YSZ и степени текстурированности наблюдается у пленок толщиной порядка 80–160 нм.

Буферные свойства оценивались по распределению кремния, циркония и кислорода по толщине пленок диоксида циркония, снятом на вторично-ионном масс-спектрометре CAMECA IMS4F. На рисунке, а и б, приведены эти распределения соответственно для пленок термического и анодного оксидов после термического отжига

в течение 30 мин при температуре 800°С. Из рисунка видно, что количество кремния, проникшего через пленку диоксида, значительно мало у анодных пленок и на полтора порядка меньше, чем у термических.

Таким образом, можно сделать вывод, что пленки *YSZ*, полученные методом электрохимического анодирования, могут быть использованы в качестве буферных слоев ВТСП структур.

Список литературы

- [1] Ockenfuss G., Bandenbacher F., Prusseit-Eiffroth W., Hirata K., Berberich P., Kinder H. // Physica C. 1991. V. 180. P. 30-33.
- [2] Fork D.K., Fenner D.B., Barton R.W., Phillips Julia M., Connell G.A.N., Boyce J.B., Geballe T.H. // Appl. Phys. Lett. 1990. V. 57. P. 1161-1163.
- [3] Лынков Л.М., Карелин Ю.К., Цейгер Е.Н. // Письма в ЖТФ. 1991. Т. 17. В. 16. С. 40-45.
- [4] Горелик С.С., Расторгуев Л.И., Скисов Ю.А., Рентгенографический и электронно-оптический анализ. М.: Металлургия. 1970. С. 266.
- [5] Алфееv B.H., Глыбин B.P., Захаров B.I., Лынков Л.М., Прищепа С.Л., Соловьев B.B., Цейгер Е.Н. // Письма в ЖТФ. 1990. Т. 16. В. 4. С. 19-23.

Минский
радиотехнический институт

Поступило в Редакцию
17 декабря 1992 г.
В окончательной редакции
21 апреля 1993 г.